

انتخاب بهینه زوایای سوئیچینگ در تکنیک کنترل عرض پالس (PWM) در سیستمهای قدرت

سیدکمال الدین نیکروش

استاد دانشکده مهندسی برق، دانشگاه صنعتی امیرکبیر

جلال نظرزاده

دانشجوی کارشناسی ارشد قدرت، دانشکده مهندسی برق دانشگاه صنعتی امیرکبیر

چکیده:

در حال حاضر برای دستیابی به یک فرم سینوسی در مدارات اینورتر مستقل قدرت، از تکنیکهایی نظیر حذف هارمونیک استفاده می‌گردد. در این روشها مجموع دامنه مؤثر هارمونیکهای خروجی در دو سر مصرف بدون توجه به نوع سیستم مقدار بزرگی را دارا می‌باشد. در این مقاله سعی گردیده است یک روش بهینه برای حداقل نمودن توزیع هارمونیک فوق بانجام سوئیچینگ در زمان مناسب بدست آورده شود. انجام سوئیچینگ مناسب باعث کاهش دامنه هارمونیکهای ناخواسته جریان در شبکه‌های قدرت گردیده و پایداری شبکه‌های متصل به این مصارف قدرت را بهبود می‌بخشد.

OPTIMAL SELECTION OF PWM FIRING ANGLES FOR POWER SYSTEMS APPLICATIONS

K.Nikraves

Prof. of Elec. Eng. Dept. of Amirkabir University of Tech.

J.Nazarzadeh

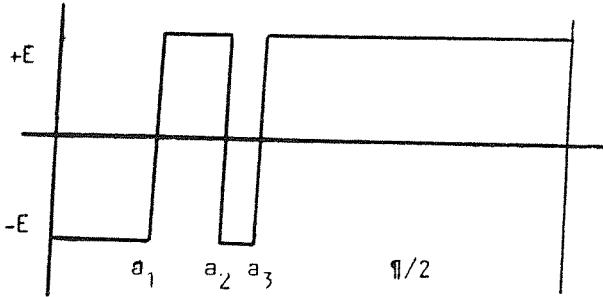
Post graduate student of Elec. Eng. Dept. of
Amirkabir University of Technology

ABSTRACT:

So far, in order to obtain a sinusoidal inverter output, harmonic elimination technic and ..., are used. Using these technics, the output rms amplitude of the harmanics on the load would be high. In this paper the optimal switching times for a PWM system are determined in order to minimize the harmonic distortions. Minimizing the harmanics' amplitude, will minimaze their corresponding current components which itself will improve the network stability.

۲) روش حذف هارمونیک PWM:

در این روش (Harmonics cancelling PWM) با توجه به عملکرد سیستم، زمانهای سوئیچ چنان انتخاب می‌گردد که دامنه برخی از هارمونیکها با توجه به نیاز، به مقدار معینی محدود و یا صفر گردد. [۱] اگر بسط فوریه موج نوشته شود مشاهده می‌شود که به ازاء هر زاویه سوئیچ، می‌توان نسبت به کنترل یا محدود کردن دامنه یکی از هارمونیکها اقدام نمود. به عبارت دیگر به ازاء هر زاویه سوئیچ می‌توان دامنه یک هارمونیک را کنترل نمود. اگر شکل (۲) بیانگر سوئیچ در مدار قدرت باشد بسط فوریه آن، با توجه به مقارن و فرد بودن موج به صورت زیر است:



شکل ۲. موج h.c.PWM در یک چهارم پریود

$$f(t) = \sum b_n \sin wnt \quad (1)$$

$$b_n = \frac{4E}{n\pi} (2 \cos wna_1 - 2 \cos wna_2 + 2 \cos wna_3 - 1) \quad (2)$$

فرد $n =$

$$b_n = 0 \quad \text{زوج } n =$$

روابط فوق در تکنیک C.PWM نیز صادق می‌باشد. با توجه به اشکال ۱ و ۲ می‌توان به سادگی دریافت که تعداد سوئیچها اثری بر rms شکل موج فوق ندارد.

$$E_{rms} = E = (\sum b_n^2 / 2)^{0.5} = (b_1^2 / 2 + b_3^2 / 2 + \dots)^{0.5} \quad (3)$$

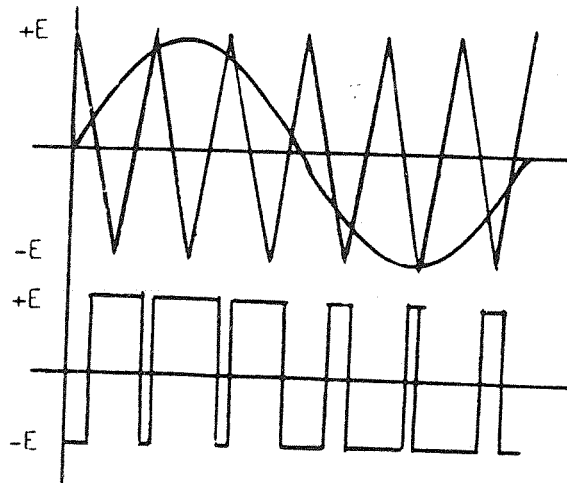
از رابطه فوق می‌توان نتیجه گرفت که افزایش دامنه یکی از هارمونیکها با کاهش دامنه گروهی دیگر از هارمونیکها باید همراه باشد. لذا در تکنیک h.c.PWM، با صفر نمودن بطور مثال دامنه هارمونیک ۳ و ۵، دامنه هارمونیکهای ۷ و ۹ و ... نسبت به حالت قبل افزایش خواهد داشت بطوری که مجموع دامنه های فوق E گردد.

روشن است که حذف هارمونیکهای مراتب بالاتر بسیار ساده تر

ایده کلی در تمام روشهای متداول به این منوال است که با انجام سوئیچینگ در زمانهای مناسب، یک فرم سینوسی در دوسر مصرف بدست آید. در ابتدای امر، سوئیچینگ به صورت مربعی صورت می‌پذیرفت که در آن صورت دامنه هارمونیکهای ناخواسته به نسبت مرتبه خود تنزل می‌نمود، یا به عبارت دیگر $U(n) = U/n$ [4]. در عمل سیستمی که با ولتاژی به فرم مربعی تغذیه شده باشد، دارای ناهنجاری در فرم خروجی خواهد بود. لذا برای گریز از این امر نسبت به کاهش این ناهنجاریها مطالعات وسیعی صورت پذیرفت که به روشهای مختلفی منجر گردید. در یکی از این روشها با انجام سوئیچینگ اضافی در مقایسه با روش فوق الذکر، دامنه تعدادی از هارمونیکها را کاهش می‌دهند. در این مقاله سعی گردیده است که با استفاده از تکنیک فوق مناسبترین الگوی زمانی سوئیچ کردن برای داشتن کوچکترین توزیع هارمونیک بدست آورده شود. ضمناً نتایج بدست آمده با نتایج حاصل از کاربرد روشهای متداول قبلی مقایسه گردیده است.

۱) بررسی تکنیکهای موجود:

در روش متعارف PWM (Conventional PWM) زمانهای سوئیچ از مقایسه یک سوئیچ با یک موج مثلثی بدست می‌آید، با افزایش یا کاهش دامنه موج سینوسی، دامنه هارمونیک اصلی متناسب با آن تغییر کرده و لذا در خروجی با فیلتر کردن موج مزبور می‌توان یک موج سینوسی با دامنه معین بدست آورد. واضح است که دامنه ماکزیمم در این روش برابر E_{max} می‌باشد.



شکل ۱. شکل پالس در روش متعارف

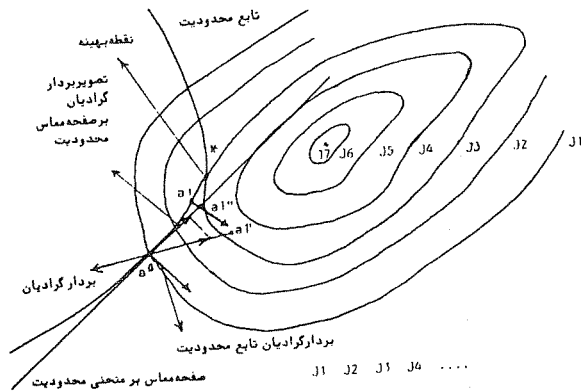
$$\frac{-2\cos((2i+1)w_0a_2) + 2\cos((2i+1)w_0a_3 - 1)^2}{+L^2W^2(2i+1)^2/R^2} \quad (6)$$

و با توجه به روابط فوق a_1, a_2, a_3 باید چنان انتخاب شوند که اولاً $b_1 = E$ شده در ضمن مقدار J حداقل خود را دارا باشد. قابل توجه است که دامنه هارمونیکهای مراتب بالاتر از حد معینی به بعد، اثر زیادی در مقدار J ندارند لذا برای انجام محاسبات، مجموع چندین هارمونیکهای اول در نظر گرفته می شود. اگر برای حل معادلات فوق از روش ضرب کننده لاگرانژ استفاده گردد، به علت مثلثاتی بودن تابع هزینه، محاسبات پیچیده و غیر مناسب خواهد بود.

استفاده از برخی روشهای کلاسیک دیگر نظیر روش سریعترین سقوط، روش پاول و غیره نیز اغلب با اشکالات متفاوتی برخورد می کنند.

۴) ادامه روش جدید:

این روش بر مبنای تصویر گرادیان با محدودیت معادله ای غیرخطی استوار می باشد. اگر فرض گردد که تابعی چند متغیره J در صفحه مختصات مربوطه دارای منحنی های هم تراز شکل (۴) بوده و منحنی تابع محدودیت در نقطه * به یکی از این منحنی ها مماس گردد، این نقطه یک حداقل برای تابعی J بطوری که محدودیت مربوطه را نیز بر آورده نماید، می باشد.



شکل ۴. منحنیهای هم تراز و منحنی محدودیت

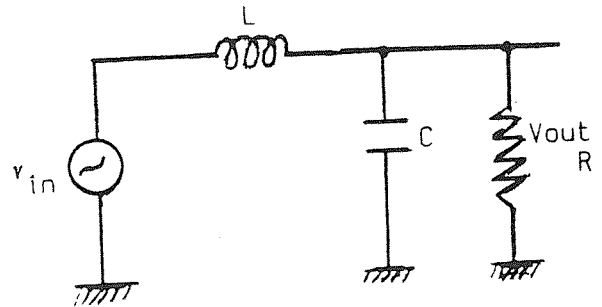
باید توجه گردد که حداقل تابعی J برای حالت بدون محدودیت مقدار J_7 می باشد، لیکن در هنگام وجود تابع محدودیت، اولین نقطه ای که تابع محدودیت بر تابعی هزینه مماس گردد، آن نقطه یک حداقل برای J به ازاء محدودیت مورد نظر خواهد بود.

در این روش باید فقط روی منحنی محدودیت حرکت کرد و به نقطه حداقل رسید، در حالی که در روشهای قبل این مسأله وجود نداشت. فرض در ابتدا در نقطه a^0 قرار داریم اگر با توجه به

از حذف هارمونیکهای مراتب پایین خواهد بود به این معنی که با استفاده از یک فیلتر ساده تر می توان هارمونیکهای مراتب بالا و بزرگ را ساده تر از هارمونیکهای مراتب پایین ولی کوچک حذف نمود.

۳) مقایسه روشهای موجود:

سوالی که در این جا مطرح می گردد، این است که کدام یک از روشهای C.PWM و یا H.C.PWM یا روشی دیگر، کمترین مقدار مؤثر دامنه هارمونیکهای ناخواسته را به دنبال خواهد داشت، هدف کلی در این جا بدست آوردن a_1, a_2, a_3 به گونه ای است که اگر از فیلتر خاصی استفاده شود، کمترین RMS هارمونیکهای ناخواسته را در دو سر مصرف ایجاد کند. در اینجا فیلتر مورد نظر یک فیلتر LC و مصرف یک بار اهمی در نظر گرفته می شود. با توجه به مدار شکل (۳) برای تحریک سینوسی داریم:



شکل ۳. یک فیلتر میان گذر

$$V_{out} = V_{in} / ((1 - W^2Lc)^2 + L^2W^2/R^2)^{.5} \quad (4)$$

و از آنجا که ولتاژ اعمال شده به فیلتر فوق دارای هارمونیکهای مراتب بالایی است رابطه فوق به صورت زیر بدست می آید:

$$V_{out}(R) = \frac{V_{in}(n)}{((1 - n^2W^2Lc)^2 + n^2L^2W^2/R^2)^{.5}} \quad (5)$$

همانطور که اشاره گردید هدف، ثابت ماندن دامنه هارمونیک اصلی به اندازه E و حداقل شدن مجموع دامنه مؤثر هارمونیکهای ناخواسته می باشد لذا $b_1 = E$ و با توجه به رابطه (۳) و (۵) و با منظور نمودن a به جای $2i+1$ و حذف هارمونیک اصلی به خاطر مطلوب بودن دامنه آن به رابطه زیر می رسیم:

$$J = \sum [4E / (\pi(2i+1))^2 \frac{2 \cos((2i+1)w_0a)}{[(1 - (2i+1)^2LCW^2]^2}]$$

اگر زوایای بردارهای گرادیان واحد g_i, g_j بامحوری a_1, a_2, a_3 برابر x, y, z باشند در آن صورت با توجه به نحوه عمل روش فوق داریم:

$$x = -\frac{\pi}{2} - \text{Cos}^{-1}(-\text{Sin}w_1/S) + \text{Cos}^{-1}[-(dJ/da_1)/D] \quad (12)$$

$$y = -\frac{\pi}{2} - \text{Cos}^{-1}(\text{Sin}w_2/S) + \text{Cos}^{-1}[-(dJ/da_2)/D] \quad (13)$$

$$z = -\frac{\pi}{2} - \text{Cos}^{-1}(-\text{Sin}w_3/S) + \text{Cos}^{-1}[-(dJ/da_3)/D] \quad (14)$$

با توجه به زوایای فوق نقطه a^{n+1} با در نظر گرفتن نقطه قبلی از روابط زیر بدست می آید:

$$\begin{aligned} a_1^{n+1} &= a_1^n - t \text{Cos } x \\ a_2^{n+1} &= a_2^n - t \text{Cos } y \end{aligned} \quad (15)$$

$$a_3^{n+1} = a_3^n - t \text{Cos } z$$

و با روشی که بیان گردید از روی a^{n+1} می توان a^{n+1} را بدست آورد.

شرط موازی بودن بردار گرادیان در نقطه a^{n+1} و بردار حامل دو نقطه a^{n+1} و a^{n+1} عبارت است از:

$$\begin{aligned} \frac{(a_1^{n+1} - a_1^{n+1})}{-\text{Sin}w_1^{n+1}} &= \frac{(a_2^{n+1} - a_2^{n+1})}{\text{Sin}w_2^{n+1}} \\ &= \frac{(a_3^{n+1} - a_3^{n+1})}{-\text{Sin}w_3^{n+1}} \end{aligned} \quad (16)$$

و از آنجایی که باید نقطه a^{n+1} در روی منحنی محدودیت باشد، لذا باید در آن معادله نیز صدق کند. یعنی:

$$2\text{Cos } w_1^{n+1} - 2\text{Cos } w_2^{n+1} + 2\text{Cos } w_3^{n+1} - 1 = \frac{\pi}{4} \quad (17)$$

با توجه به روابط (16) و (17) می توان a_1^{n+1} و a_2^{n+1} و a_3^{n+1} را با روش گوس سایدل بدست آورد.

در ابتدا a^{n+1} و a^{n+1} را برابر می گیریم و بعد از چند مرحله تکرار جوابهای واقعی بدست می آیند. البته در این روش اندازه گام محاسباتی را باید کنترل نمود زیرا افزایش بیش از حد t ممکن است باعث دور شدن از جواب واقعی گردد. بعد از بدست آوردن a^{n+1} از روی a^{n+1} با روش اشاره شده در قبل، آن قدر این عمل را تکرار می کنیم تا بردار گرادیان حامل از نقطه مورد نظر از روی تابع محدودیت با بردار عکس گرادیان از تابعی J هم سو گردد. در آن صورت آن مختصات یک حداقل برای تابعی J به ازاء تابع محدودیت مورد نظر خواهد بود.

۶) مثال عددی:

برای یافتن نتیجه باروش اخیر از مقادیر زیر استفاده می شود:

روش سریعترین سقوط حرکت گردد بایستی در جهت خلاف گرادیان حرکت کرد تا به نقطه a^0 رسید همانطور که مشاهده می گردد این حرکت باعث دور شدن از محدودیت بوده و برای حرکت روی محدودیت بایستی ابتدا برداری که گرادیان تابع محدودیت را در نقطه a^0 مشخص می کند و سپس معادله کلیه سطوحی که از نقطه مزبور عبور می نمایند و بر تابع محدودیت مماسند، بدست آورد.

برای حرکت در جهت کاهش J و روی تابع محدودیت به طریق ذیل عمل می شود. در ابتدا تصویر بردار عکس گرادیان J را بر روی صفحه مماس بر تابع محدودیت بدست آورده و در جهت آن تصویر، به اندازه t حرکت می کنیم تا به نقطه a^{n+1} برسیم. همانطور که از شکل پیداست، این نقطه کمی از تابع محدودیت دور شده برای بازگشت به تابع محدودیت از روش ذیل استفاده می گردد:

اگر از یک نقطه مشخص a^{n+1} بخواهیم مختصات نقطه مجهول a^l را بدست آوریم، با توجه به قضایای آنالیز برداری می توان به صورت زیر عمل نمود:

بردار گرادیان واحد عبوری از نقطه a^l و بردار گرادیان حامل a^l, a^{n+1} را بدست آورده و اگر a^l متناظر با تصویر a^{n+1} بر روی رویه مورد نظر باشد، در آن صورت این دو بردار باید منطبق یا موازی با یکدیگر باشند و نیز نقطه مجهول a^l در معادله تابع محدودیت صدق نماید. از روی این معادلات بدست آمده توسط دو شرط فوق می توان نقاط a^l را از روی a^{n+1} بدست آورد.

۵) کاربرد روش جدید در مسأله PWM:

همانطور که قبلاً اشاره شد مجموع دامنه مؤثر هارمونیکها و ناخواسته از رابطه (۴) بدست می آید. با توجه به اینکه $b_1 = E$ می باشد داریم:

$$2 \text{Cos } w_1 - 2 \text{Cos } w_2 + 2 \text{Cos } w_3 - 1 = \pi/4 \quad (7)$$

بردار واحد قائم بر تابع محدودیت به صورت زیر خواهد بود:

$$S = (\text{Sin}^2 w_1 + \text{Sin}^2 w_2 + \text{Sin}^2 w_3)^{0.5} \quad (8)$$

$$Q = (-\text{Sin } w_1 . I_{a1} + \text{Sin } w_2 . I_{a2} - \text{Sin } w_3 . I_{a3})/S \quad (9)$$

بردار واحد عکس گرادیان به صورت کلی به شکل زیر خواهد بود.

$$g_i = \left(\frac{dJ}{da_1} . I_{a1} + \frac{dJ}{da_2} . I_{a2} + \frac{dJ}{da_3} . I_{a3} \right) / D \quad (10)$$

که در آن D برابر است با:

$$D = \left[\left(\frac{dJ}{da_1} \right)^2 + \left(\frac{dJ}{da_2} \right)^2 + \left(\frac{dJ}{da_3} \right)^2 \right]^{0.5} \quad (11)$$

نتیجه (۷)

بامقایسه بین مقادیر J با استفاده از سه روش مختلف مشاهده می‌گردد که روش بهینه نسبت به دو روش H.C.PWM, C.PWM دارای تابعی معیار کوچکتری می‌باشد.

مقایسه کلی بین سه روش فوق در جدول زیر بیان گردیده است:

۱- از نظر زمان محاسبه

Opt.PWM: ۳ H.C.PWM: ۲ C.PWM: ۱

۲- از نظر سادگی ساخت پالس

Opt.PWM: H.C.PWM: ۲ C.PWM: ۱

۳- از نظر حداقل تابعی

C.PWM: ۳ H.C.PWM: ۲ Opt.PWM: ۱

۴- از نظر بزرگی فاصله ۲ سوئیچ

H.C.PWM: ۳ C.PWM: ۲ Opt.PWM: ۱

$$L=18 \text{ mh } c=72 \mu\text{f } R=15 \text{ Ohm } t=3 \text{ ms } W=314$$

مقدار n باتوجه به محاسبه دامنه هارمونیکها و باتوجه به مقدار انحراف قابل قبول بدست می‌آید که در این مثال $n=51$ می‌باشد.

	a_1	a_2	a_3	$J \times 10^{-3}$
Optimal PWM(ms)	0.79	2.22	2.57	4.60
¹ H.C PWM(ms)	0.93	2.58	2.86	6.57
² C. PWM(ms)	0.66	3.20	3.43	59.67

۱- زوایای فوق در این روش از حل دستگاه $b_2=0, b_3=0, b_1=1$ بدست آمده‌اند.

۲- زوایای فوق باتوجه به شکل ۱ قابل محاسبه هستند.

منابع:

1. Determination of Commutation Sequence with a View to Eliminating Harmonics in Microprocessor-controlled PWM Voltage Inverter. By: A. Zuckerberger & Abraham Alexandrovitz, IEEE Transaction-Industrial Electronics, Vol.3, No:3, 1986.
2. A New Control PWM Inverter Waveform for Minimum Loss Operation of an Inductions Motor Drive. By: ISAO Takahashi & Hiroshi Mochikawa, IEEE Transactions Industry Application, Vol.1, No:4, 1985.
3. Optimal Plasewidth Modulation for Feeding AC Motor. By:Giusepps, Buja & Glov Anni B. Indri, IEEE Transactions on Industry Application, Vol.3, No:1, 1977.
4. Staircase PWM: An Uncomplicated and Efficient Modulation Technique for AC Motor Drives. By: Kjeld Thorborg & Ake Nystrom. IEEE Transactions on Power Electronics. Vol.3, No:4, October 1988.
5. Advanced Engineering Mathematics. By: Kreysizing, 1985.

